АКАЛЕМИЯ НАУК СССР



ALBERT A PRESIDE

Физический институт

имени П. Н. Лебедева

Препринт № 244

(физика космоса)

ОДНОРОДНАЯ МОДЕЛЬ САМОГРАВИТИРУКЩЕГО СКАТОГО СФЕРОИДА С АНИЗОТРОПИВЙ ДИСПЕРСИИ СКОРОСТЕЙ

В.П. Кондратьев

HOMOGENEOUS MODEL OF A SELF-GRAVITATING OBLATE SPHEROID WITH ANIBOTROPIC VELOCITY DISPERSION

Howogeneous model of a collisionless self-gravitating oblate spheroid with anisotropic velocity dispersion is investigated. The condition of dynamic equilibrium is obtained. For large ellipticities this model gives the values $T_{\rm rot}/T_{\rm rand}$ which are typical for 80 galaxies.

ОДНОРОДНАЯ МОДЕЛЬ САМОГРАВИТИРУПЦЕГО СЛАТОГО СФЕРОИДА С АНИЗО-ТРОПИВИ СКОРОСТЕЙ

Кондратьев В.П.

RHUBTOHHA

Исследоване однородная модель бесстолиновительного самогравитирующего сферонда, имеющего глобальную анивотронию диоперсии скоростей. Найдени условия динамического равновесии и дифференциальности вращения в системе. Кинетическая внергия модели разделена на энергию регулярного вращения и энергию кастического движения частиц. При больших сильскутостях модель корошо передает динамику SO галантик.

Г. Вредение

В месмедовании пространственно-кинематической и динамической структуры гелактик наряду с наблюденяния определенную рель
играют аналитические самосогласованные модели. При этом данине
наблюдений служат для проверки предпосылов, на которых построени модели. Неплохое количественное совпадение с наблюдениями
имеет модели эллиптических галактик (Вилсон, 1975; Готт, 1975;
Ларсон, 1975). Из сравнения свойств этих моделей с наблюдениями
была выяснена важная деталь — сплюснутооть в эллиптических галактиках прямо не связана с их вращением, а отражает остаточную
книзотропию дисперсии скоростей звезд (Бини, 1976).

Исследование моделей обично связано с ридом трудностей, носящих математический характер. Не всегда удается решить соответствующие уравнения для фазовой функции распределения и найти необходимое число интегралов движения, от которых эта функция зависит. Исследование поддается лишь некоторые варманты моделей и, по-видимому, наиболее простыма из них являются однородные по плотности.

Одной из первых была рассмотреня модель однородного оссстеминовительного трелосного залипсовда (Фраман, 1966). На этой модели были моследовани токи вещества, имеющае витересное свойство: направление их движения противоположно вращению самой конфигурации, что вызывает появление противотоков в инерциальной системе исординат. Существование противотоков уназывает на то, что необходимо различать твердотельное вращение системи и систематические вихревые движения вещества в вей.

Другим нармантом однородной бесстолкновительной модали на-

дветоя сватий сферовд. В самом простом случае распределение скоростей в такой модели принимается изотропним (Готт и Тхуан, 1975). Более последовательным является подход с нахождением анизотропной фазовой функции распределения (Поляченко "1976; см. также Поляченко и Фридман, 1976). Однако анизотропная модель скатого сфероида подробно не исследована. Приведенная в монографии Поляченко и Фридмана (1976) функции имеет вид

$$\int (\vec{z}, \vec{v}) = \frac{8 p_0}{\pi^2 C c} \frac{\sqrt{m}}{m - n} \cdot S \left[1 - m - \frac{2 T z}{C^2 c^2} \right], \quad (1")$$

где Q_0 - плотность, Q_0 - Q_0 - компонента интеграла энергии, Q_0 - дельтафункция.

С помощью функции (I^*) можно найти только один набор основних характеристик модели (компонент дисперсии скоростей, энерии врещения и т.д.), что не позволяет сформулировать необходимое и достаточное условие стационарности сфероида. Кроме того, функция (I^*) не определени на оси X = Y = 0; вследствии этого формули для скорости вращения

$$\overline{V}_{p} = \frac{1}{Jr} \left\{ 1 + \frac{Z^{2}}{\sqrt{1-Z^{2}}} \ln \frac{1+\sqrt{1-Z^{2}}}{Z} \right\}$$
 (п*) двет неверный результат $\lim_{t\to 0} \overline{V}_{p} \neq 0$.

В данной статье проведено детальное исследование модели

В данной статье проведено детальное исследование модели однородного сматого сфероида с анизотропией скоростей. Дополнен и уточнен метод нахождения функции распределения и вияснена причина ее вирожденности (наличия дельта-функции Дираки).

 в статье Поляченко (1976), дарактеристики модели не били получени. В функцию распределения введени два параметра (раздел 2): первый из них исключает из рассмотрения орбити частиц, вирожденные в прямую линию и проходящие через ось X=Y=0, что дает $\lim_{r\to 0} \overline{U_{\varphi}}=0$ (рездел 3.2); второй параметр К регулирует состав орбит по скатию и входит во все харантеристики модели, что позволяет найти условие стационарности сфероида (раздел 4.1). Кинетическая энергии частиц разделена на энергию регулярного врамения E_{rec} и энергию хастического движения E_{fund} . Выяснено, что при любом скатим сфероида модель не удожлетворяет критерию устойчивости Шиблеа и Острайкера (1973).

2. Вивод функции распределения.

2.1. Исходные формулы.

Принятая модель — это однородный сфероид Маклорена, состоящий из ввезд равной масси, движение которых происходит в самосогласованном гравитационном поле. Орбиты частиц оконструировани так, чтобы быда анизотропия дисперсия окоростей. Вращение
всех частиц происходит в одном направлении. Функция распределения зависит от трех интегралов движения, которые могут быть
найдени. Определение таким образом модели, разделим на "хомодные" в плоскости вращения (дисперсия радиальной компоненти окорости $\langle \overline{V_r^2} \rangle = D \rangle^M$ и "горячие" с $\langle \overline{V_r^2} \rangle \neq 0$. Функция распределения получена в этом разделе только для последних (модель о $\langle \overline{V_r^2} \rangle = D$ более проста и рассмотрена в разделе 3.2 без
помощи функции распределения).

Имеем:
$$\frac{\Gamma^2}{a^2} + \frac{\chi^2}{C^4} = 1$$
 уравнение поверхности, (1) $\beta = \beta_0 \, \eta \left(1 - \frac{\chi^2}{C^4} - \frac{\chi^2}{C^4} \right)$ плотность внутри оферонда, (2) $\frac{\chi^2}{2} = \frac{\chi^2}{2} = \frac{\chi^2}{2} = \frac{\chi^2}{2}$ плотность внутри оферонда, (2) $\frac{\chi^2}{2} = \frac{\chi^2}{2} = \frac{\chi^2$

где $2(\times) = 0$ при X < 0 и $2(\times) = 1$ при $X \geqslant 0$. Гранителизонный потенциан хороно менестен и в цилиндрических

$$\varphi = \text{const} + \frac{A^2 g^2}{2} + \frac{C^2 g^2}{2} . \tag{3a}$$

Здесь C и C - полусси сферовда, причем C > C. Выражения для A^2 и C^2 таковы (Чендрасектар, 1973):

$$A^2 = 2\pi G g_0 \left\{ \frac{\sqrt{1-e^2}}{e^3} \arcsin e^{-\frac{1-e^2}{e^2}} \right\},$$
 (36)

$$C^2 = \frac{4\pi G R}{e^2} \left\{ 1 - 11 - e^2 \frac{azcsin e}{e} \right\}$$
 (36)

Задача заиличается в нахождении самосогивсованной функции $\frac{1}{2}(\vec{z},\vec{V})$ из интеграньного уравнения

$$\beta_0 \left[1 - \frac{2^2}{\alpha^2} - \frac{z^2}{C^2} \right] = \iiint \int (\vec{z}, \vec{v}) d\vec{v} . \tag{4}$$

Условие самосогласованности требует, чтоби $f(\vec{z},\vec{v})$ завысела только от интегралов движения частици. Интеграл внергии $T = \frac{\eta^2}{2} + \gamma'(x,z)$ распедается (ввиду $\Psi(x,v,z) = \Psi(z) + \Psi(z)$) на два первых интеграла:

$$T_{z} = \frac{U_{z}^{z}}{2} + \frac{C^{2}z^{2}}{2}.$$

$$T_{\perp} = \frac{U_{x}^{z} + U_{y}^{z}}{2} + \frac{A^{2}(x^{2} + y^{2})}{2}.$$
(5a)

Имеется также интеграл моментя

$$K_z = x \mathcal{V}_y - y \mathcal{V}_x. \tag{50}$$

для ревения ураннения (4) перейдем от переменных (U_x, U_y, U_z) к новым (T_L, T_Z, K_z) , см. Приложение I; тогда

$$\int_{0}^{\infty} \left[1 - \frac{z^{2}}{a^{2}} - \frac{z^{2}}{C^{2}} \right] = \iiint_{\sqrt{2T_{z} - C^{2}z^{2}} \cdot \sqrt{2T_{z}}} \frac{1}{\sqrt{2T_{z} - C^{2}z^{2}} \cdot \sqrt{2T_{z}}} \frac{1}{\sqrt{2T_{z} - A^{2}z^{4} - K_{z}^{2}}} \frac{1}{\sqrt{60}}$$
(6)

Для нехождения пределов интетрирования рассмотрим движение одной частици.

2.2. Нахожиение пределов интегрирования.

Первие интегрели Кан Т⊥ описывают движение честици в плоскости, перпендикулярной оси ОZ. Перейдем к полирным коор-динатам

$$K_z = 2 \cdot V_{\varphi}$$
,
 $T_1 = \frac{V_z^2 + V_{\varphi}^2}{2} + \frac{A^2 z^2}{2}$.

Отсюда легко получить соотношение, описывающее движение частицы по валиноу

$$2T_{L}z^{2}-K_{z}^{2}-A^{2}z^{4}=U_{z}^{2}z^{2}.$$
 (7)

Сам вляние лежит в плоскости, перпендикулярной оси ОХ. Обозначив в нем (см. рис.2)

$$2^2_{\text{max}} = m$$
 , $2^2_{\text{min}} = n$,

негио получить (положив $U_{p}=0$):

$$m = \frac{T_{\perp} + \sqrt{T_{\perp}^2 - A^2 K_{\perp}^2}}{A^2}, \qquad (Ba)$$

$$N = \frac{T_L - \sqrt{T_L^2 - A^2 K_Z^2}}{A^2}.$$
 (8b)

Согласно янтегралу Tz жа (5а), частица оснивлирует но гармоническому закону в направлении, паредляваном OZ. Перейдем в (6) к переменным (M, Π, Tz), т.к. для них проце найти пределы житегрирования. Из (8) жиеем:

$$K_z = A \sqrt{mn'}$$
, (9a)

$$T_{\perp} = \frac{m+n}{2} A^2 . \tag{9b}$$

Якобиан перехода легко найти

$$J = \frac{A^2}{4} \frac{m - n}{\sqrt{mn}}$$

В результате получим уравнение (Поляченко и Фридови, 1976)

$$9.7[1-\frac{2^2}{2}-\frac{z^2}{C^2}] = \frac{A}{4} \iiint \frac{f(m,n,T_z)\frac{m-n}{m-n} \, dm \, dn \, dT_z}{2T_z-C^2z^2} \cdot \frac{f(m-z^2)(z^2-n)^2}{2T_z} \cdot (10)$$

$$\frac{C^2z^2}{2} \leqslant T_z \leqslant \frac{C^2c^2}{2} \left(1 - \frac{z^2}{2}\right) . \tag{II}$$

Предели по m и n найдем из рис.2, где изображено сечение AB рис.1. Имеем: $R = \alpha \sqrt{1-\frac{R^2}{C^2}}$ и $R^2 \le m \le \alpha^2 \left(1-\frac{R^2}{C^2}\right)$. Частица с данним m может находится на расстоянии $R \le R_{max} = c\sqrt{1-\frac{m^2}{C^2}}$ и для частиц, которие могут доходить до R_{max} (не останавлявансь в промежуточних точках) виполняется условие $R_{max}^2 = \frac{2 \cdot T_R}{C^2}$. Для этих частиц справедяню тождество $\frac{m}{C^2} + \frac{2 \cdot T_R}{C^2 c^2} = 1$

Геометрически это условие означает, что частици с М и и и подчиненными тождеству, в процессе колебания касаются поверхности оферонда. В этом случае две независимие переменне М и те оказиваются связанными между собой, что значительно упрощает решение уравнения (10) (суть упрощений изложена в раздеже 2.4). Иними словами, для модели, в которой все орбити частиц касаются повержности сферонда, существует только вирожденное решение уравнения (10) и справедливо тождество

$$m = a^2 \left(1 - \frac{2Tz}{C^2c^2}\right) . \tag{12}$$

До того моменти ми находились в согласии с изложенным в момографии Поляченко и Фридмана (1976), где было принято $0 \le n \le 2^2$. Одиано иманий предел для П немьзя брать равным нули. Нужно моничить из рассмотрення орбити, вырождающиеся в сечения АВ в линию и проходящие через ось ОД. Из-за неправильного нижнего предела для П в монографии получена формула для врещения (П") (см. Введение), дающая стобря (П"), что не вмеет смысла. Ми примем:

 $2c^2 \leqslant n \leqslant K^2 \cdot Z^2 \quad , \tag{13}$

где \mathcal{X} можно брать произвольно малой, но отличной от нуля, а параметр K ($0 < K \le 1$) регулирует состав проекций орбит в сеченам Aв рис. 2 по скатию: при K = I допускавтся элиппон с любым скатием виночая окружности, а при K > 0 происходыт их вирождение в линию. Этот параметр войдет в искомую функцию $\frac{1}{2}(\tilde{Z}, \tilde{V})$ и в интегральные характеристики модели. Подбирая K, можно установить необходимое условие динамического равновеска в модели (см. раздел 4.1).

2.3. Решение интегрального уравнения.

Усновие (12) устанавливает связь между переменными M и Tz что позволяет записать (10) в удобном для интеграрования виде:

$$\frac{49.9}{A} \left[1 - \frac{2^2}{4^2} - \frac{2^2}{C^2} \right] = \int \frac{dT_e}{\sqrt{T_e - C^2 e^2}} \int \int \frac{(m-n) \int (m,n,T_e) dm dn}{\sqrt{m-n} \sqrt{m-v^2} \sqrt{(v^2-n)^2}}$$
(14)

Предели интегрирования в уравнении (14) приведени в формулах (11) и (13) (пределы по ТМ зависят от пределов по Тк). Простота случая вырожденности заключается в том, что схожное уравнение (10) сводится к интегральному уравнению Абеля по переменной Тк (см. Приложение 2):

$$\frac{4 \, \mathcal{Y}_0}{A^2} \, \mathcal{V}(x) = \int_0^x \frac{\Phi(\mathcal{J})}{\sqrt{x - \mathcal{J}^2}} \, d\mathcal{J} .$$

рашен это станцартным способом, получама,

$$\frac{89.}{\pi ACc} \cdot \frac{1}{\sqrt{1-2^{\frac{1}{2}}} - 27^{\frac{1}{2}}} = \iint_{\sqrt{mn'}} \frac{(m-n)!(mn,T_{*}) dm dn}{\sqrt{(m-2^{2})(2^{\frac{1}{2}}-n)!}} . (15)$$

Продолжая использовать простоту случая вирожденяя, подстановкой тождества (12) в уравнение (15) приходим и простому интегральному уравнению

$$\frac{8ag_{o}}{\pi ACc} = \int_{0}^{\frac{1}{2}} \frac{f(m,n,T_{2})[a^{2}(1-\frac{2T_{k}}{C^{2}c^{2}})-n]}{\sqrt{nz^{2}-n^{2}} \cdot \sqrt{a^{2}(1-\frac{2T_{k}}{C^{2}c^{2}})}} - dn .$$
 (15a)

Искоман функция равна:

$$\int (m_1 \pi_1 T_2) = \frac{8\alpha P_0}{\pi A Cc L(K)} \cdot \frac{\sqrt{\alpha^2 \left(1 - \frac{2T_0}{C^2 C^2}\right)}}{\left[\alpha^2 \left(1 - \frac{2T_0}{C^2 C^2}\right) - \pi\right]}$$
(16)

где

$$L(\kappa) = \frac{\pi}{2} + \arcsin[2\kappa^2 - 1] \qquad (16a)$$

В функция (16) присутствует вирождение по M , так как в $\frac{1}{2}$ (m,n,Tx) три архумента, а справа только два. С помощью тождества (12) запижем решение (16) с дельта функцией:

$$f(m,n,T_z) = \frac{8\alpha P_0}{\pi ACc L(x)} \frac{\sqrt{m}}{m-n} S[m-\alpha^2(1-\frac{2T_z}{C^2c^2})]. (17)$$

чтобы не усложнять выкладок, взято %=0; но пра получении формулы для вращения (см. раздел 3,2) необходимо брать % отличной от нуля.

Отметим, что функция (16) (вые (17)) отличается от функции (I *) (см. Ввеление) наличием в первой функции от параметра (к). Вследствии этого, основные характеристики модели также вависят от нараметра К ; вибором величини последнего в разделе 4. І найдено условие динамического равновесия сфероида.

Функция (17) зависит от трех интегралов пвижения, что позвожиет видрчить случай анивотропии дисперсии скоростей. Найти накие-либо другие решения исходного уравнения (10), не испольвуя простоту случая вырождения, не удается.

3. Вывод основных характеристик модели, < V2> x < V2>. З.І. Компоненты писперсии скорости Из (7) и (8) найдем радмальную компоненту скорости:

$$V_z^2 = \frac{A^2}{Z^2} (m - z^2)(z^2 - n)$$
, (18)

Величина U_{2}^{2} в произвольной точке внутри сферонца индивидуальна для каждой орбиты, проходящей через эту точку. Усредним \mathcal{V}_z^2 no spectralicity exponers $\overline{U_{*}^{2}} = \frac{1}{C} \iiint U_{*}^{2} \int (\vec{z}, \vec{v}) d^{3} v .$

Переходя и переменным (Т., Т. К.) с якобивном перехода Приножения I, а затем к переменным (т, п, Тг) с якобианом

$$\frac{A^{2} \frac{m-n}{4 \sqrt{mn}}}{\sqrt{mn}}, \frac{1001948M}{\frac{C^{2}C^{2}}{3}} \frac{K^{2}c^{3}}{\sqrt{2Tz-C^{3}n^{2}}} \int_{0}^{\infty} \frac{\sqrt{m-z^{2}}(z^{2}-n)}{\sqrt{z^{2}-n}} \frac{\delta[m-\alpha^{2}(1-\frac{2Tz}{C^{2}c^{2}})]}{\sqrt{z^{2}-c^{2}n^{2}}} dmdn.$$

$$\overline{\mathcal{U}}_{z}^{z} = \frac{A^{2}q^{2}}{2} \frac{9(\kappa)}{L(\kappa)} (\beta - \alpha) , \qquad (19)$$

TA

$$\beta = 1 - \frac{2^2}{\alpha^2}; d = \frac{\pi^2}{c^2},$$
 (20a)

$$g(K) = K\sqrt{1-K^2} + azctg\frac{K}{\sqrt{1-K^2}}$$
 (20b)

Мегко проверить, что $\overline{U_z} = \frac{1}{S_0} \iiint U_z + (2,3) d^3 V = 0$, следовательно $\overline{U_z}^2$ явилется компонентой дисперсии скоростей. Рассмотрим (19). Хотя U_z^2 яв (18) от \overline{E} не зависит, но усреднение (19) есть функция об $=\frac{\overline{E}^2}{C^2}$. Противоречия здесь нет — при усреднении учитывались орбити с разними \overline{E} ; как показано на рис. I, в точку $\bigcap (2,\overline{E})$ могут попадать частицы из точек $I_12,3...$ Поверхности $\overline{U_z^2} = \text{CORS} \overline{I}$ — вто подобные сферован врещения. С удалением от центра $\overline{U_z^2}$ убивает и обращается в муль на поверхности модели, где $O_{\overline{I}} = S$. Целесообразно усреднять (19) по объему сферовар. Обозначив среднее по объему \overline{V} скобками $\langle \overline{U_z^2} \rangle$, ямеем:

 $\langle \overline{U}_{i}^{2} \rangle = \frac{1}{V} \iiint \overline{U}_{i}^{2} dx dy dz$.

Подотавля (19) и опуская промежуточние вичисления, запимем результат

$$\langle \overline{U}_2^2 \rangle = \frac{1}{5} \frac{9(K)}{L(K)} A^2 \alpha^2 \qquad (21)$$

Зависимость $\langle \overline{U}_n^2 \rangle \sim \Omega^2$ объясняется упругой силой, действующей на частици в плосисств AB (легко видеть, что воледствии $Y(x) = \frac{A^2 z^2}{2}$ соответствующая компонента сили $F \sim 2$).

Получим теперь $\langle \overline{U}_z^2 \rangle$. Из витеграла Tz следует $U_z^2 = 2T_z - C^2z^2$.

Окаванное выше об усреднении U_n^2 относится и к усреднению U_n^2

HENOMEN:
$$\overline{\mathcal{V}}_{z}^{2} = \frac{1}{\rho_{o}} \iiint_{z} \mathcal{V}_{z}^{2} + (\vec{z}, \vec{v}) d^{3} \vee$$
,

$$\overline{\mathcal{V}}_{z}^{2} = \frac{C^{2}C^{2}}{\pi} \sqrt[3]{\frac{l-du}{l-\beta}} dl = \frac{C^{2}C^{2}}{2} (\beta - \lambda), \quad (22)$$

где d ж β определены в (20a).

Поверхности U2= const также подобные сфероиды; эта компонента убивает от цантра и обращается в нуль на граничной поверхности оберовия. Легко убенеться в том. что $\overline{\mathcal{U}}_* = 0$. повтому $\overline{\mathcal{U}}_*^2$ явияется компонентой инсперсии скоростей. Ве усреднение по объему сфетови акиот

$$\langle \overline{\mathcal{V}}_{z}^{a} \rangle = \frac{1}{5} C^{2} c^{2} . \tag{23}$$

Как и для компоненти $\langle \overline{U_2^2} \rangle$, пропорциональность $\langle \overline{U_2^4} \rangle \sim C^2$ прямо оделует из наличия упругой сили, действующей на честицы в направления, перадмельном оси ОК.

Из (9a) легко видеть, что $V_{\varphi} = \frac{m \pi}{2} A$; взяв цределы Ж² € № К² в опуская промежуточные вичисления, находим

$$\overline{\mathcal{U}}_{\wp} = \frac{1}{9} \iiint \mathcal{U}_{\wp} \, f(\vec{z}, \vec{v}) \, d\vec{v} = \frac{A\alpha}{\pi} \, \frac{\tau}{L(\kappa)} \, \iint_{(\vec{z}-d)(\vec{y}-\vec{k})} \, d\ell \; .$$

Этот витеграл табличный (Градытейн и Рымик, 1962);

$$\overline{U}_{\varphi} = \frac{2A\alpha}{\pi} \frac{\mathcal{T}}{L(K)} \sqrt{1-\lambda} \left[\left(\frac{J_{\varphi}}{2}; \sqrt{\frac{p-\lambda}{\lambda}} \right) \right], \qquad (24)$$

где \mathcal{L} и β определени в (20a) E(...) — полный эллиргический интеграл 2-го рода, а $\mathcal{T}=2\left(\sqrt{1-\frac{2}{3}},-\sqrt{1-K^2}\right)$. При $\mathcal{T}=\frac{2}{K}$ обращается в нуль Т ; взяв Ж произвольно малым, но отличным

от нуля, получим $\overline{U}_{P}=0$ в малой опрестности осн $O\mathbb{Z}$ (см. рис.4).

формула (24) вадает дифференциальное вращение, причем U_{ϕ} вависит не только от Z, но и от Z. Ня рис.4 показани йривне вращения на разных расстояниях от плоскостя Z=0; при данном Z скорость вращения возрастает и плоскости Z=0.

интересно проследать токи вещества на поверхности сферовда. Для этого нужно положить $\mathcal{L}=\beta$ в (24); легко видеть, что $\overline{U}_{p}\sim \frac{2}{C}$, т.е. угловая скорость вращения на поверхности модели постоянна, а сама граничная поверхность вращается как твердая скорлупа. Это любопитное свойство легко увидеть и из рис.4: все кривые вращения при разних $\frac{2}{C}$ имеют одну насательную (т.е. $\mathcal{N}=\text{const}$) для точек, лежащих на граничной поверхности. Подставва $\mathcal{L}=\beta$ в формули (19) и (22), найдем $\overline{U}_2^2=\overline{U}_2^2=0$; это можно объяснить тик: в произвольной точке на граничной поверхности отсутствуют все движения частиц, нарушающие жесткость скорлупи. Токи на поверхности текут в перпендикулярных оси OZ плоскоотях. Весткость скорлупи не означает, что она состоит из одних и тех же звезд.

Во вращающейся системе отсчета, жестко связанной с граничной скордуной, существуют токи вещества, текущие в обратном направлении по отношению и вращению скордуни. Это объясняется тем, что угловая скорость вращения возрастает от центра и повержности, где ее величина $\Omega = \frac{2A}{\pi}$. При исследовании модели однородного трехосного влишсовида (фриман, 1966) были обнаружени токи вещества с направлением движения, обратным вращению всей фигури (в системе отсчета вращающейся вместе с влишсовиюм). Но

противотоки в залипсовде существуют и и инерписальной опстеме отстета (где сами фигура вращается), а и сфероиде и этом случае направление токов совпадает с направлением вращения граничной поверхности.

Травиальным является врещение "колодкой" моделя, т.е. в сферовде с $\overline{U_2^2}\equiv 0$. Положив в формулах (8a) и (8b) m=n. получим $T_L \equiv A^2 K_L^2$. Подстановкой этого значения T_L в (7) легию находки уравнение (предварительно положив $\overline{U_2^2}\equiv 0$)

 $U_{\varphi}^2 - 2A_2U_{\varphi} + A^2 z^2 = 0$. Решенке уравнения дает $U_{\varphi} = Az$, т.е. твердотельное времение о S = A. Резимпруем: соли модель сферонда "горячая" в илоскости врещения, т.е. $\overline{U_z^2} \neq 0$, — то врещение в ней дифференциальное, а соли "холоднея" ($\overline{U_z^2} = 0$) — то твердотельное. Переход от твердотельного и дифференциальному врещение сопроводдается нереаспределением части внергии вращения в внергии жастического движения звезд в илоскости вращения (появлением $\overline{U} \neq 0$), что повышает устойчивость модели (см. раздел 4.1).

Отметим, что угловая окорость твердотельного вращения $\Omega = A$ сольше максимальной угловой скорости вращения й "горячей" моделя $\mathcal{L}_{max} = \frac{2}{\pi} A$. Причиной этого является, как йегко видеть, наличее в последней моделя $\mathcal{U} \neq 0$.

3.3. Азимутальная компонента двеперови споростей.

Наме было показано, что $\overline{U_{\varphi}}\neq 0$, поэтому $\overline{U_{\varphi}}^{\sharp}$ не является компонентой диоперойи скоростей. Последнюю можно найти из простого соотношения $\mathcal{C}_{\varphi}^2=\overline{U_{\varphi}^2}-(\overline{U_{\varphi}})^2$. Найдей вначале $\overline{U_{\varphi}^2}$; из (9a) следует, что $U_{\varphi}^2=\frac{A^2}{C^2}$ им и, и средний квадрат этой неличини равен

$$\begin{split} \overline{U_{\rho}^{2}} &= \frac{1}{90} \iiint \overline{U_{\rho}^{2}} + (\overline{z}, \overline{V}) d^{3}V = \\ &= \frac{1}{90} \iiint \frac{K_{z}^{2}}{2^{3}} + (T_{z}, T_{z}, K_{z}) \frac{dT_{z} - C^{\frac{3}{2}z^{2}} \sqrt{2T_{z} - C^{\frac{3}{2}z^{2}} \sqrt{2T_{z} - K_{z}^{2}}} = \\ &= \frac{2A^{2}\alpha}{4\pi} \frac{C^{\frac{3}{2}z^{2}}}{\sqrt{2T_{z} - C^{\frac{3}{2}z^{2}}} \int \frac{dT_{z}}{\sqrt{2T_{z} - C^{\frac{3}{2}z^{2}}} \int \frac{dT_{z}}{\sqrt{2T_{z} - C^{\frac{3}{2}z^{2}}} \int \frac{dT_{z}}{\sqrt{2T_{z} - C^{\frac{3}{2}z^{2}}} \int \frac{dT_{z}}{\sqrt{2T_{z} - C^{\frac{3}{2}z^{2}}}} \int \frac{dT_{z}}{\sqrt{2T_{z} - C^{\frac{3}{2}z^{2}}} \int \frac{dT_{z}}{\sqrt{2T_{z} - C^{\frac{3}{2}z^{2}}}} \int \frac{dT_{z}}{\sqrt{2T_{z} - C^{\frac{3}{2}z^{2}}}} \int \frac{dT_{z}}{\sqrt{2T_{z} - C^{\frac{3}{2}z^{2}}} \int \frac{dT_{z}}{\sqrt{2T_{z} - C^{\frac{3}{2}z^{2}}}} \int \frac{dT_{z}}{\sqrt$$

На величину фазового ореднего не повлинет, если веять $\mathcal{X}=0$ м предели $0 \leqslant n \leqslant k^2 2^3$.

$$\overline{V_{\mu}^{2}} = A^{2} a^{2} \frac{V(N)}{L(N)} \left(1 - \frac{d + \beta}{2}\right),$$

$$V(K) = \operatorname{arctg} \frac{K}{\sqrt{1 - K^{2}}} - K \sqrt{1 - K^{2}},$$
(26)

d и β определени в (20g).

Усраднения ДУ по объему давт

$$\langle \overline{U_{\mu}^{2}} \rangle = \frac{3}{5} \frac{\chi(\kappa)}{L(\kappa)} A^{2} \alpha^{2} . \tag{27}$$

Для нахождения $\langle (\overline{U}_p)^2 \rangle$ воопсивауемся формулой (24):

$$\langle (\overline{U}_{\nu})^2 \rangle = \frac{1}{V} \iiint (\overline{U}_{\nu})^2 dx dy dz$$
.

В квадратурах этот интеграл не берется, его можно ваять численно. Расчеты дают

$$\langle (\overline{U}_{b})^{2} \rangle \approx 0.24 \text{ A}^{3} \text{a}^{2}$$
. (26)

ым выяви при вическении K=I (это дало L(K)=JC), что соответствует случаю стационарности системы (об этом в разделе 4.1), а также K=0. Наймем дисперсию, полагал K=I в (27)

$$\langle b_{\nu}^2 \rangle = \langle \overline{U}_{\nu}^{\dagger} \rangle - \langle (\overline{U}_{\nu})^2 \rangle \approx 0.06 \, \text{A}^2 \alpha^2$$
 (29)

Величини (28) и (29) поэволяют найти отдельно эпертии регуляр-

ного времения и хаотического пвижения звезд.

4.1. Условие динамичаского равновасля.

Запинем теорему вириала

$$2E + W = 0, \qquad (30)$$

гле

E = E_E + E₂ + E_Pесть полная нинетическая внергия динкущихся
ввевд, в W — гревитационная энергия на взаимодействия. Компоненти импетической внергии найдем с помощью соотношений (21),
(23) д (27)

$$E_{2} = \frac{M}{2} \cdot \langle \overline{\mathcal{V}}_{2}^{2} \rangle = \frac{M}{10} \frac{g(\kappa)}{L(\kappa)} A^{2} \alpha^{2} , \qquad (31a)$$

$$E_{z} = \frac{M}{2} \cdot \langle \overline{U}_{z}^{2} \rangle = \frac{M}{10} C^{2} c^{2} , \qquad (31b)$$

$$E_{\varphi} = \frac{M}{2} \cdot \langle \overline{\mathcal{V}}_{\varphi}^2 \rangle = \frac{3M}{10} \frac{Y(K)}{L(K)} A^2 \alpha^2, \qquad (310)$$

гие М -полная масса системы.

Гравитационная знергия однородного сферомия хоромо известна (ом. например, Чандрасекхар (1973))

$$W = -\frac{3M^2G}{5a} \cdot \frac{\operatorname{azcsin} e}{e} . \tag{32}$$

Подставляя формулы (31) и (32) в (30), получим условие на величниу параметра К, при котором система находится в стационарном состоянии. Удобно вывести соотношения (с помощью формул (3b, c), (31 a,b, c) и (32)

$$\frac{E_2}{|W|} = \frac{1}{2} (1 - \frac{1}{2} (e))$$
, (33a)

$$\frac{E_{\gamma}}{|\mathcal{W}|} = \frac{4}{4} \frac{g(\kappa)}{L(\kappa)} f(e) ,$$
(33b)
$$\frac{E_{\phi}}{|\mathcal{W}|} = \frac{3}{4} \frac{f(\kappa)}{L(\kappa)} f(e) ,$$
(33c)

$$f(e) = \frac{1}{e^2} - \frac{\sqrt{1 - e^2}}{e \cdot arcsine}$$
 (34)

в С — эксцентриситет меридиального сечения сферовда. Подставив формули (33) в (30), подучим факторизованное по С и И выражение:

$$f(e) \left\{ \frac{1}{4} \frac{g(\kappa)}{L(\kappa)} + \frac{3}{4} \frac{f(\kappa)}{L(\kappa)} - \frac{1}{2} \right\} = 0.$$
 (36)

Так как f(e) не обращается в нужь при $0 \le e \le 1$ (f(e) = 2/3 при e = 0 и f(e) = 1 при e = 1), то выражение в скобках приравниваем нужь. Функции L(K), f(K) и f(K) цаются формумами (16a), (20b) и (26). Легно видеть, что виражение

$$\frac{4}{4} \frac{g(\kappa)}{L(\kappa)} + \frac{3}{4} \frac{f(\kappa)}{L(\kappa)} - \frac{4}{2} = 0$$
 справедиво при $K = I$. Итак, во воех характеристиках модели, находящейся в стационарном состоянии, нужно K принять равним I. Равновесная модель сфероида описивается следующими формулами:

компоненты дисперски скоростей (усредненные по объему сфероида):

$$\langle \overline{V_r^2} \rangle = 0.10 A^2 \alpha^2 , \qquad (36)$$

$$\langle \overline{U}_{z}^{2} \rangle = 0.20C_{c}^{2} , \qquad (37)$$

$$\langle b_n^2 \rangle = 0.06 \, \text{A}^2 \alpha^2 \,, \tag{38}$$

окорость вращения

$$\overline{U}_{\nu} = \frac{2}{\pi^{2}} \frac{A\mu}{r} \frac{r}{1-\alpha} E\left(\frac{\pi}{2}, \sqrt{\frac{\mu-\alpha}{1-\alpha}}\right). \tag{39}$$

вонсьмогатальные валичини:

$$\langle \langle \overline{U}_i \rangle \rangle = 0.24 \text{A}^2 \alpha^4 , \qquad (40)$$

$$\langle \overline{v}_{s}^{a} \rangle = 0.80 A^{2} \alpha^{s} . \tag{41}$$

$$E_{r} = 0.05 \text{MA}^{2}$$

$$(42)$$

$$E_{rot} = 0,12 \text{MA}\alpha^2$$
 квочического дижения (44)

$$\frac{E_r}{|W|} = 0,125f(e),$$
 (45)

$$E_{1} = 0,50(1-f(e)),$$
 (46)

$$E_{rot} = 2.20$$
 (47)

$$\frac{E_{rot}}{|W|} \simeq 0,30 \, f(e) \,, \tag{48}$$

$$E_{0} = 0.375f(e)$$
, (49)

$$\frac{E_{0}}{|W|} = 0.375f(e) ,$$

$$\frac{E_{\text{tund}}}{|W|} = 0.50 - 0.30f(e) ,$$
(49)

движения.

Важной карактеристикой модели является (формула (48)); согласно критерию устойчивости (Шибле и Острайкер, 1973), осесиметричные гравитирующие системы устойчивы при Солтивско же (48), для однородного сфероида этот критерий не выстолняется: $0,20 \leqslant \frac{F_{ret}}{|W|} \leqslant 0,30$ (см. рис. 5).

Характерно, что отношение $\stackrel{\text{Ent}}{E_r} \simeq 2,4$ не зависит от степени сжатия $\mathcal{E} \equiv 1 - \frac{c}{a}$. Далее, в области $0 \leqslant \mathcal{E} \leqslant 0,7$ выпол- $E_{\rm rend} > E_{\rm ret}$, а при $E \gg 0.7$ знак неравенства няется неравенство

обратный (рис.5).

Отметим. что при $\mathcal{E}=0$ (офера) модель имеет отличную от нуля \mathbb{E}_{rot} — это одна из особенностей двнамики беостолкновительных систем с анизотронней двсперсии окоростей (известно, что для жидких фигур и бесстолкновительных систем с изотронным давлением энергии вращения обращается в нуль при $\mathcal{E}=0$), на рис. б изображени графики формул (46), (47), (49). Сумма трех графиков при любом сжатии равна 1/2 (теорема вириала).

б. Закирчение.

Исследованная модель однородного бесстолиновительного сферонда вмеет анизотропию двоперсии скоростей, и в этом отношении является альтернативной сферонду с изотропным "давлением". Различие этих моделей проявляется уже в том, что при $\mathcal{E}=0$ (сферон) сферонд с анизотропней имеет отличную от нуля энергию ретуларного вращения, а сферонд с изотропным "давлением" вращения не имеет. Существенно отличие и в динамике — в анизотропном сферонде дифференциальное вращение (если $\widehat{U_r}^2 \neq 0$), а изотропном ном оно твердотельное. Интересным является то, что у первой мощели вращение граничной поверхности твердотельное, по эта скорими не состоит из одних и тех не звезд. Третьим важным отличисым моделей сферонда является разная величина предельных слатий, получаемых с их помощью (см. статью Озерного и Кондратье—ва (1976), в которой модель применена к галактивам $\mathcal{S}O$).

Найденное для модели с анизотропией отношение E_{rot}/W не удовлетвориет критерии устойчивости Пиблоа и Остайнера ни при каком сжатии. В вопросе применения модели к галактикам SO это

свидетельствует о том, что кроме дисковой компоненты существует четко на Сикдаемая сферопральная составляющая, воледствии чего $E_{\rm rot}/W$ уменьшается.

В сметеме отсчета, связанной с граничной скордуной сфероида, ваправление токов вещества противоположно вращение поверхноста. В отлачие от токов в однородном эллипсовде, найденных Фримансы, в сферовде отсутствуют противотоки вещества в инерциальной системе отсчета.

Характерно, что отношение $\frac{E_{fot}}{E_F}$ не зависит от сматия оферонда. В области сматий $0 < \mathcal{E} < 0.7$ энергия хаотического движения частиц превывает энергии регулярного вращения, но при $\mathcal{E} > 0.7$ $E_{rot} > \mathcal{E}_{rod}$. Это находит отражение в том, что $E_{rot} / \mathcal{E}_{rod}$ при больших сматиях модели больше единици и хорошо согласуется с оценкой этого отношения для SO гелактик.

Автор признателен Л.М.Озерному за большую помощь в работе над данкой статьей.

Azrepatypa

- EMHHH (Binney J.J.), 1976, Monthly Bot. Roy. Astron. Soc., 177,19.
- Вилоон (Wilson C.P.), 1975, Astron. J., 80, 175.

Torr (Gott J.R.), 1975, Astrophys. J., 201, 296.

Готт и Тхуан (Gott J.R., Thuan T.X.), 1975, Метиге, <u>257.</u> 774. Градитейн И.С., Рыкик И.М. Табляцы интегралов, суми, рядов и произведений, М., ГИФИЛ, 1962.

- Оверной Л.М. Кондратьев В.П., Astron. Astrophys.
- Mapcon(barson R.B.), 1975, Monthly Not. Roy. Astron. Sec., 172,671.
- Octpannep m Hadro (Ostriker J.P., Peebles P.J.E.), 1973, Astrophys. J., 186, 467.
- Поляченко В.Л., 1976, ДАН СССР, 229, 1335.
- Поляченко В.Д., Фридман А.М., "Равновеске и устойчивость гравитирующих систем", "Наука", М., 1976.
- Opmman (Freeman K.C.), 1966, Menthly Not. Roy. Astron. Soc., 1244 1.
- Чандрасекхар С., Эллипсондальние фигуры равновесия". "Мир". м., 1973.

Приложение Т.

Переход в интегредьном уравнения (4) от переменних (U_{κ}, U_{y}, U_{z}) и новым (T_{x} , T_{L} , K_{x})

Для перехода нужно вычислять якобаян:

$$J = \begin{vmatrix} \frac{2K}{2} & O & \frac{2K}{2} \\ \frac{2K}{2} & O & \frac{2K}{2} \end{vmatrix} = \frac{2K}{2} \cdot \frac{2K}{2} \left[\frac{2K}{2} + \frac{1}{K} \frac{2K}{2} \right]. \tag{1}$$

Имоем
$$T_1 = \frac{U_1^2 + U_2^2}{2} + \frac{A^2C^2}{2}$$
 $T_2 = \frac{U_2^2}{2} + \frac{C^2Z^2}{2}$ $K_2 = XU_2 - YU_3$ (3)

ОТВУДА НАХОДИМ

$$U_{x} = -\frac{yK_{x}}{\sqrt{2}} \pm \sqrt{\frac{2T_{x}x^{2}}{\sqrt{2}}} - A^{2}x^{2} - \frac{x^{2}K^{2}}{\sqrt{2}}$$
 $U_{y} = \frac{K_{x} + yU_{x}}{X}$
 $U_{z} = \sqrt{2T_{x}^{2} - C^{2}x^{2}}$

(3)

Находим производные:

произнодные:
$$\frac{\partial U_{1}}{\partial T_{1}} = \pm \frac{\chi^{2}/r^{2}}{\sqrt{\frac{\chi^{2}K_{2}^{2}}{r^{2}} + 2\frac{\chi^{2}T_{1}}{r^{2}} - A^{2}\chi^{2} - \frac{K_{2}^{2}}{r^{2}}}}$$

$$\frac{\partial U_{2}}{\partial K_{2}} = \frac{1}{\chi} + \frac{y}{\chi} \frac{\partial U_{3}}{\partial K_{2}}$$

$$\frac{\partial U_{2}}{\partial T_{3}} = \left(2T_{2} - C^{2}\chi^{2}\right)^{-1/2}$$
(4)

Пояставлия (4) в (1), легко находим якосими

$$J = \frac{1}{X} \frac{\partial U_{z}}{\partial T_{z}} \frac{\partial U_{z}}{\partial T_{z}} = \frac{1}{\sqrt{2T_{z} - C^{2}z^{2}}} \sqrt{2T_{z}r^{2} - K_{z}^{2} - A^{2}r^{n_{z}}}, \tag{6}$$

что и режает поставленную задачу.

Приложение 2.

Первый этап в ремении уравнения (14).

Обозначим в этом уравнении

$$\iint \frac{m-n}{\sqrt{m-n}} \frac{f(m,n,T_2)}{\sqrt{(m-r^2)(r^2-n)}} dm dn = \mathcal{O}(T_2, X_{\omega} y).$$
(1)

Тогда (14) примет вид

$$\frac{\frac{L_{1}f_{2}}{A^{2}}}{A^{2}}\eta\left(1-\frac{\Gamma^{1}}{\alpha^{1}}-\frac{Z^{1}}{C^{2}}\right)=\int_{C^{1}Z^{1}}^{C}\frac{CP(T_{z},X...y)}{\sqrt{2T_{z}-C^{2}z^{1}}}dT_{z}$$
(2)

Обозначка:

$$X = 1 - \frac{C^{2}}{c^{2}} - \frac{Z^{2}}{c^{2}},$$

$$J = X + \frac{Z^{2}}{c^{2}} - \frac{2T_{2}}{c^{2}c^{2}},$$

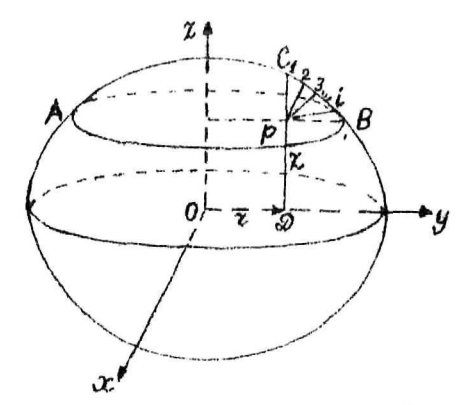
получим уравнение Абели

$$\frac{\iota_{1}f_{0}}{A^{2}}\gamma(x) = \int_{0}^{x} \frac{cp(J)}{\sqrt{x-J}} dJ. \tag{3}$$

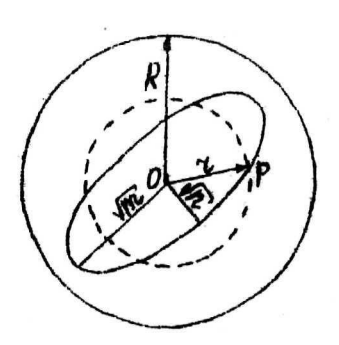
Оно имеет стандартное режение

$$\phi(J) = \frac{4}{\pi} \frac{4P}{A^2} \frac{d}{dJ} \int_{\sqrt{J-X}}^{\frac{1}{2}(X)} dX$$
, (4)

откуда и получнем уравнение (15) основного текста.



Рыс.І. Сжатий сферонд с системой координат (0, x, y, z).
Показани сечение AB через гочку p и индекси I,2,3... i... орбит, которые могут проходить через эту точку.



Рас. 2. Сечение AB рас. 1. Показана проекция на это сечение одной из орбит с ее больной и малой полуослии.

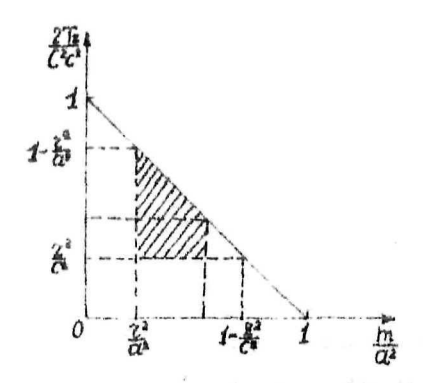


Рис. 3. Заитрихована фазовая площадь интегрирования в случае вырождения функции распределения.

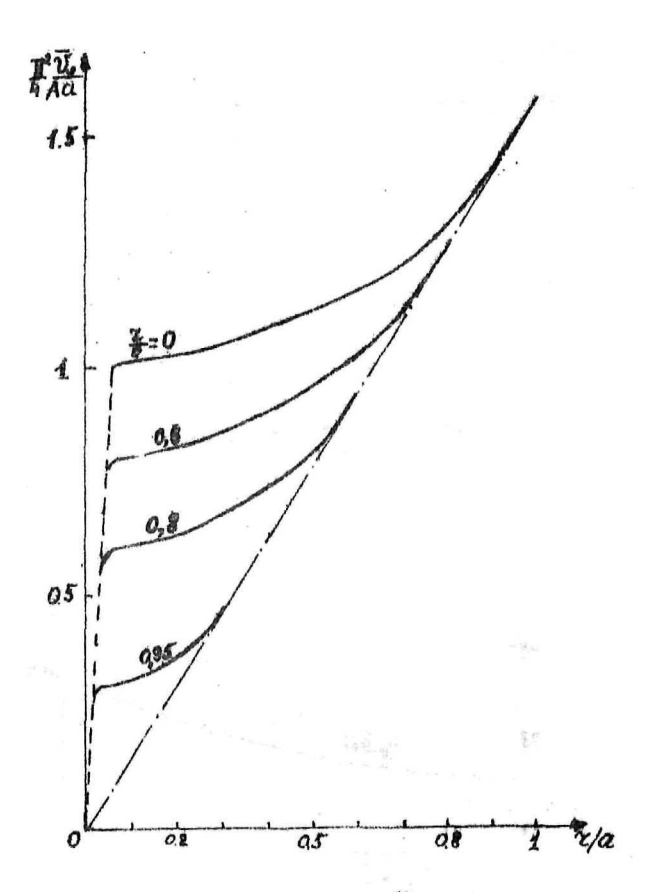


Рис. 4. Кривне вращения для различных $\frac{Z}{C}$; начала всех кривых изображены пунктиром и не имеют физического смысла (Z -окрестность сол DZ). Показана касательная к графикам для точек, находящихся на поверхности сферомда.

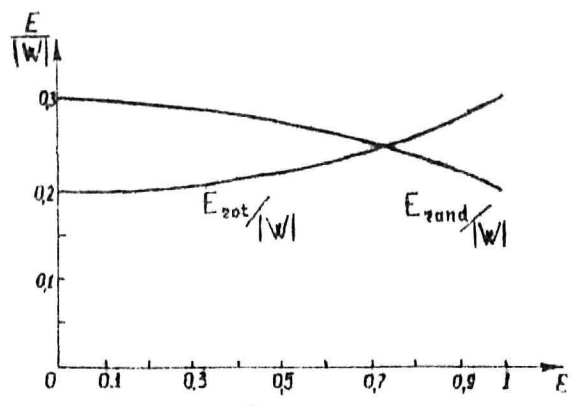


Рис. 5. Графики Ети и как функции сматия Е сферомда.

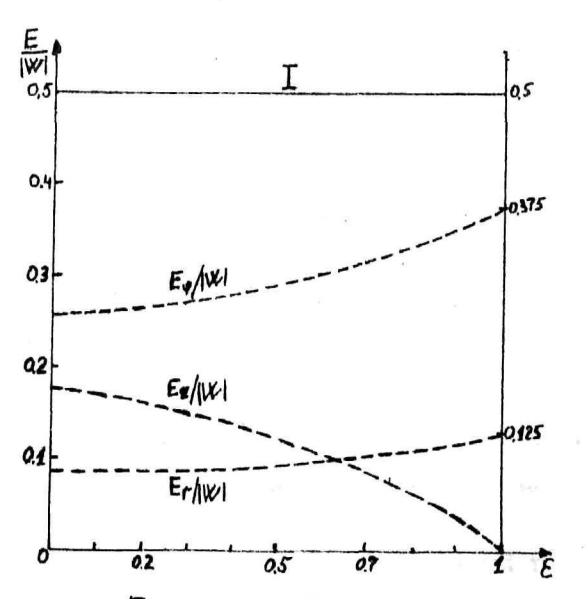


Рис.6. Графики $\frac{E_{X}}{|W|}$, $\frac{E_{Y}}{|W|}$ и $\frac{E_{Y}}{|W|}$. График (1) — их сумма.

T - 19596

Подписано в цечать <u>I/XI 19 78</u> г. Заказ и 577. Тираж IOO п/и I.4

Отпачатано в Редакционно-издательском отделе ФИАН СССР Москва, В-312, Ленянский проспект, 53